

УДК 621.0

СТАЦИОНАРНОЕ ВРАЩЕНИЕ НЕУРАВНОВЕШЕННОГО РОТОРА С ЖИДКОСТНЫМ АВТОБАЛАНСИРУЮЩИМ УСТРОЙСТВОМ ПРИ ДЕЙСТВИИ СИЛ ВНЕШНЕГО ТРЕНИЯ

В.А. Дубовик, Е.Н. Пашков

Томский политехнический университет

E-mail: epashkov@rambler.ru

Рассмотрено влияние сил внешнего трения на вращение ротора с жидкостным автобалансирующим устройством. Жидкость в балансирующей камере при стационарном движении вращается вместе с ротором как твердое тело. Получены аналитические выражения для прогиба вала, дисбаланса системы и необходимого вращающего момента от двигателя, обеспечивающего вращение с заданной скоростью.

Для устранения дисбаланса вращающихся тел используют жидкостные балансирующие устройства (АБУ) [1]. При проектировании таких АБУ необходимо знать влияние жидкости на вращение тела. Исследованию вращения уравновешенного ротора при частичном его заполнении жидкостью посвящены работы [2, 3]. Изгибные колебания вала с неуравновешенным диском на нем изучены в [4, 5]. В [6, 7] показано влияние жидкости во вращающемся роторе на автоматическую балансировку механической системы без учета сил сопротивления. Ниже рассматривается установившееся движение неуравновешенного ротора с жидкостью при наличии внешнего трения.

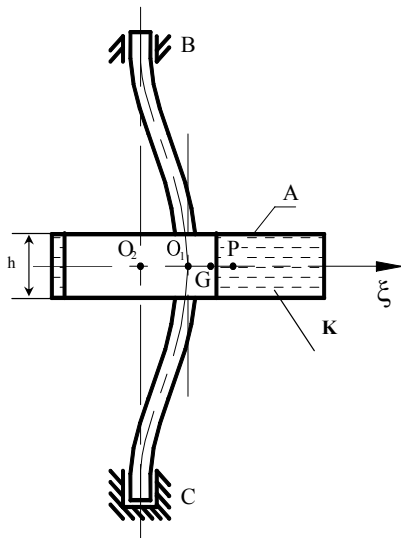


Рис. 1. Схема закрепления ротора

Пусть ротор A (рис. 1) с балансирующей камерой K, заполненной частично жидкостью, симметрично закреплен на гибком вертикальном валу, проходящем через геометрический центр O_1 . Центр масс ротора (точка P) смещен от O_1 на расстояние $O_1P=e$. При вращении ротора вал смещается на величину $O_2O_1=a$, а несжимаемая однородная жидкость, плотностью ρ , перетекает в сторону прогиба вала. В случае установившегося движения жидкость во вращающемся роторе занимает цилиндрический слой высотой h , свободной поверхностью которого является окружность радиуса r_2 с центром на оси вращения BC (точка O_2 на рис. 2), и враща-

ется с угловой скоростью ротора $\omega = \text{const}$ [1]. Отсюда центр масс слоя жидкости находится на линии центров O_2O_1 в точке G, а движение ротора является плоским.

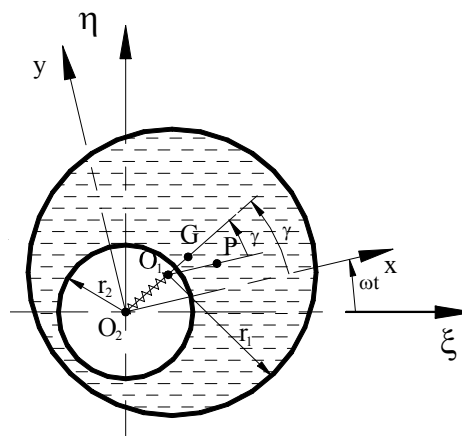


Рис. 2. Сечение ротора с жидкостью

Введем в плоскости движения точки O_1, G, P две системы координат (рис. 2) с общим началом в точке O_2 на линии BC: неподвижную систему $O_2\xi\eta$ и подвижную O_2xy , ось x которой параллельна отрезку O_1P . Угловые скорости вращения ротора и системы O_2xy одинаковые, следовательно, ротор в подвижной системе координат неподвижен. За обобщенные координаты возьмем координаты в подвижной системе точки $O_1 - x, y$.

На ротор со стороны вала действует сила упругости $\vec{F}_c = -c\vec{O_2O_1}$ и сила внешнего трения, приложенная в точке O_1 , пропорциональная абсолютной скорости \vec{V}_{O_1} этой точки, $\vec{F}_x = -\chi\vec{V}_{O_1}$, где c и χ коэффициенты упругости и внешнего трения. Согласно принципу Даламбера, справедливому для любой механической системы, имеем уравнение равновесия главных векторов внешних сил и сил инерции:

$$-c\vec{O_2O_1} - \chi\vec{V}_{O_1} - m_1\vec{a}_P^e - m_2\vec{a}_G^e = 0. \quad (1)$$

Здесь m_1 и m_2 — массы ротора и жидкости, \vec{a}_P^e и \vec{a}_G^e — переносные ускорения точек P и G соответственно. Координаты этих точек определяются выражениями

$$x_P = x + e, \quad y_P = y, \quad x_G = rx, \quad y_G = ry, \quad (2)$$

где $r = r_1^2 / (r_1^2 - r_2^2)$; r_1 — радиус ротора.

Проецируя (1) на оси x , y и используя (2) для вычисления \bar{V}_0 , \bar{a}_p^e и \bar{a}_c^e , получаем уравнения стационарного движения системы:

$$\begin{aligned} cx - \chi\omega y - m\omega^2 x &= m_1 e \omega^2; \\ cy + \chi\omega x - m\omega^2 y &= 0. \end{aligned} \quad (3)$$

Здесь $m = m_1 + rm_2$ – приведенная масса системы, $rm_2 = \rho\pi_1^2 h$ – фиктивная масса жидкости, заполняющая всю балансирующую камеру ротора [1].

Из уравнения равновесия моментов всех сил относительно оси BC , определяем вращающий момент M , приложенный к валу со стороны двигателя

$$M = O_2 O_1 \cdot \chi V_{O_1} = \chi a^2 \omega = \chi \omega (x^2 + y^2). \quad (4)$$

Решение уравнений (3) имеет вид

$$x = \frac{m_1 e \omega^2 (c - m\omega^2)}{(c - m\omega^2)^2 + \chi^2 \omega^2}; \quad y = -\frac{m_1 e \chi \omega^3}{(c - m\omega^2)^2 + \chi^2 \omega^2}. \quad (5)$$

По формулам (2–5) вычисляются прогиб вала $a = \sqrt{x^2 + y^2}$; дисбаланс системы $d = (m_1 + m_2)r_c$, где $r_c = \sqrt{(x_p m_1 + x_c m_2)^2 + (y_p m_1 + y_c m_2)^2} / (m_1 + m_2)$ – отклонение центра масс ротора с АБУ от оси BC ; и вращающий момент M

$$\begin{aligned} a &= \frac{ez}{\sqrt{D(\mu)}}; \quad d = \frac{m_1 e \sqrt{1+nz}}{\sqrt{D(\mu)}}; \quad M = \frac{e^2 z^2 c \sqrt{nz}}{D(\mu)}; \\ D(\mu) &= (1 - \mu z)^2 + nz. \end{aligned} \quad (6)$$

Здесь $z = m_1 \omega^2 / c$, $n = \chi^2 / (cm_1)$ – безразмерный коэффициент сопротивления, $\mu = m/m_1$ – отношение приведенной массы системы к массе ротора.

Для сравнения движения ротора с жидкостным АБУ и без него рассмотрим следующие отношения:

$$\frac{a}{a_1} = \frac{d}{d_1} = \sqrt{\frac{D(1)}{D(\mu)}}; \quad \frac{M}{M_1} = \frac{D(1)}{D(\mu)}, \quad (7)$$

где a_1 , d_1 , M_1 – прогиб вала, дисбаланс, вращающий момент при движении ротора без балансирующей жидкости, получаемые из (6) при $\mu=1$.

Угол сдвига фазы движения γ определяется формулой

$$\operatorname{tg} \gamma = y/x = -\frac{\chi\omega}{c - m\omega^2} = -\frac{\sqrt{nz}}{1 - \mu z}, \quad (8)$$

Это выражение при отсутствии жидкости, т.е. при $\mu=1$, совпадает с аналогичной формулой в [3]. Отношение прогибов вала a/a_1 , при $n=0$, совпадает с соответствующим значением, полученным для вращения без сил трения в [5].

Из формул (5–8) следует, что при $\omega \rightarrow \infty$ ($z \rightarrow \infty$), $a \rightarrow m_1 e / m$, т.е. прогиб вала становится меньше неуравновешенности e , т.к. $m_1 / (m_1 + rm_2) < 1$; $r_c \rightarrow 0$, $\gamma \rightarrow \pi$, $x \rightarrow -m_1 e / m$, $y \rightarrow 0$; координаты центров масс ротора и слоя жидкости принимают значения: $x_p = rm_2 e / m$, $y_p = 0$ и $x_c = -rm_1 e / m$, $y_c = 0$; $d \rightarrow 0$; $M \rightarrow \infty$. Таким образом, при больших ω центр масс системы стремится занять положение на оси вращения BC ; происходит самоцентрирование системы.

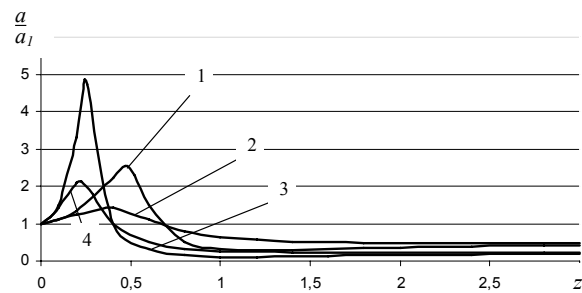


Рис. 3. Зависимость прогиба вала a/a_1 от относительной угловой скорости z при различных значениях μ и n : 1) $\mu=2$, $n=0,1$; 2) $\mu=2$, $n=0,7$; 3) $\mu=4$, $n=0,1$; 4) $\mu=4$, $n=0,7$

Так как $D(1) < D(\mu)$ при $z > 2/(1+\mu)$, то согласно (7) жидкостное АБУ уменьшает прогиб, дисбаланс системы по сравнению с ротором без жидкости на частотах вращения выше $2/(1+\mu)$.

На рис. 3 показано отклонение прогиба вала ротора с действующим АБУ к прогибу без него, рассчитанное для $\mu=2$; 4 и $n=0,1$; 0,7. Из рисунка видно, что при одном и том же значении μ и различных n совпадение прогибов вала системы и ротора без жидкости наступает при одном и том же значении z . С увеличением параметра μ критическая частота вращения убывает, а экстремальное значение прогиба уменьшается с ростом n . Эти же кривые описывают изменение отношений дисбаланса и радикалов вращающих моментов.

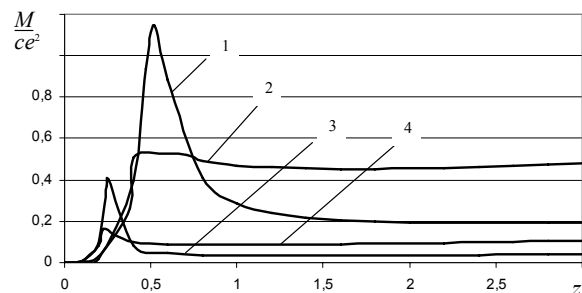


Рис. 4. Зависимость вращающего момента от относительной угловой скорости z при различных значениях μ и n : 1) $\mu=2$, $n=0,1$; 2) $\mu=2$, $n=0,7$; 3) $\mu=4$, $n=0,1$; 4) $\mu=4$, $n=0,7$

Из (6) следует, что максимальный прогиб вала $a^p = 2e/\sqrt{4\mu n - n^2}$ наступает при критической угловой скорости $z^p = 2/(2\mu - n)$. При отсутствии жидкости в балансирующей камере $z_1^p = 2/(2 - n)$ и $a_1^p = 2e/\sqrt{4n - n^2}$. Сравнивая эти значения, заключаем: жидкостное АБУ уменьшает критическую скорость и максимальное отклонение ротора от оси вращения. Изменение вращающего момента от угловой скорости показано на рис. 4. Расчеты показали, что эти кривые при $\mu > 2n$ имеют две экстремальные частоты вращения $z_{1,2} = (6\mu - 3n \pm \sqrt{(6\mu - 3n)^2 - 20\mu^2}) / (2\mu^2)$. Первая (знак минус) соответствует максимальному значению момента, вторая – минимальному. Отсюда, в случае малой мощности двигателя, при переходе через частоту z_1 [8], возможна ситуация, когда энергии не хватает для преодоления резонанса.

Выводы

Установлены зависимости прогиба вала, дисбаланса системы, вращающего момента при заданной угловой скорости вала от отношения приведенной массы к массе ротора и сил внешнего трения. Получена частота вращения, зависящая только от отношения масс, выше которой указанные характери-

стики движения системы с АБУ становятся меньше чем для ротора без жидкости. Вычислена угловая скорость, при которой ротор не может преодолеть критическую частоту для малой мощности двигателя. Полученные результаты следует учитывать при проектировании и использовании жидкостных АБУ для гашения колебаний неуравновешенных роторов с вертикальной осью вращения.

СПИСОК ЛИТЕРАТУРЫ

1. Pat. 6782722 USA. Drum washing machine // Yokoi e.a. Sanyo Electric Co., Ltd.; 31.08.2004.
2. Епишев Л.В. О динамической неустойчивости вращающегося ротора при неполном наливке жидкости // Научн. докл. высш. школы. Машиностроение и приборостроение. – 1959. – № 2. – С. 66–74.
3. Дерендяев Н.В., Сандалов В.М. Об устойчивости стационарного вращения цилиндра, частично заполненного вязкой несжимаемой жидкостью // Прикладная математика и механика. – 1982. – Т. 46, вып. 4. – С. 578–586.
4. Диментберг Ф.М. Изгибные колебания вращающихся валов. – М.: Изд-во АН СССР, 1959. – 246 с.
5. Рубановский В.Н., Самсонов В.А. Устойчивость стационарных движений в примерах и задачах. – М.: Наука, 1988. – 304 с.
6. Гусаров А.А. Автобалансирующие устройства прямого действия. – М.: Наука, 2002. – 119 с.
7. Нестеренко В.П. Автоматическая балансировка роторов приборов и машин со многими степенями свободы. – Томск: Изд-во Том. ун-та, 1985. – 85 с.
8. Диментберг Ф.М., Шаталов К.Т., Гусаров А.А. Колебания машин. – М.: Машиностроение, 1964. – 308 с.